

## Homogenized Yarn-Level Cloth

GEORG SPERL, IST Austria

RAHUL NARAIN, Indian Institute of Technology Delhi

CHRIS WOJTAN, IST Austria

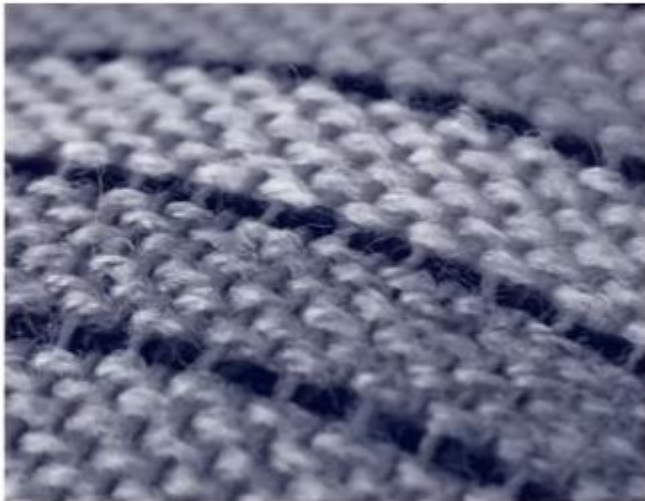


Fig. 1. Left: A comparison between direct yarn-level simulation (YLC) and simulation with our homogenized model (HYLC); our homogenized model accurately captures the non-trivial elastic stretching and bending response of the fabric. Middle and right: Results simulated with homogenized continuum models of woven and knitted patterns; our method allows us to efficiently compute large-scale simulations where direct yarn-level simulation would be prohibitively slow.

Présenté par: Abdelmouttaleb Dakri

# Propriétés des tissus

Tissé



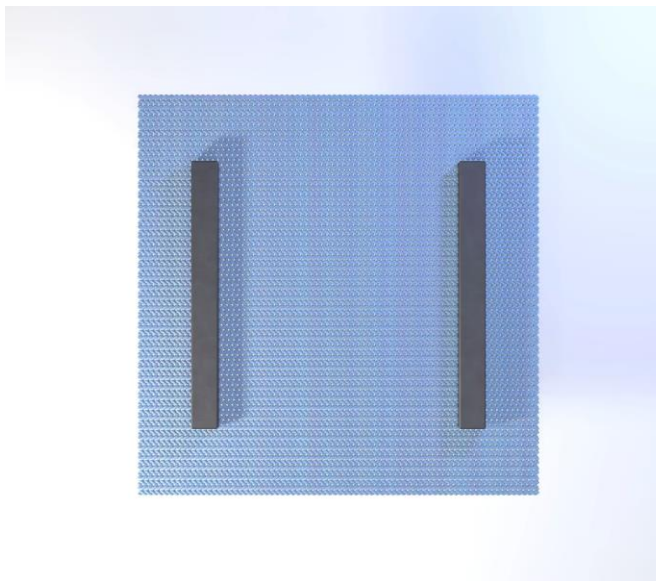
Tricoté



→ Différents comportements élastiques selon le motif (“pattern”)

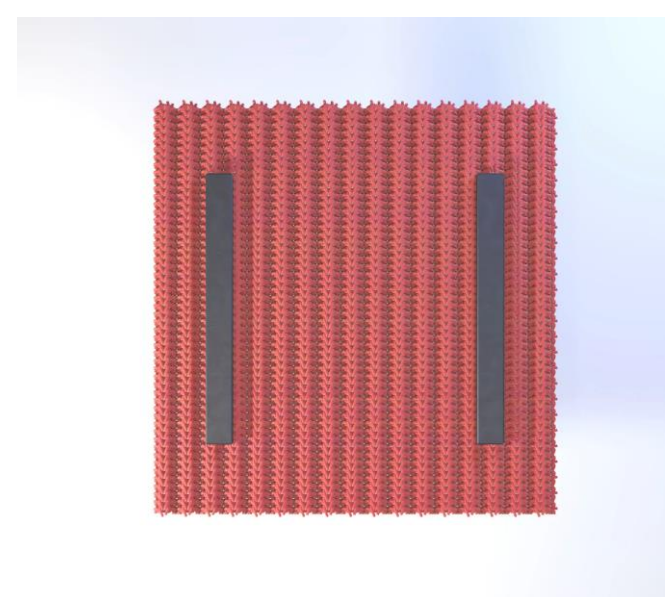
# Propriétés des tissus en traction

**Motif (stockinette)**

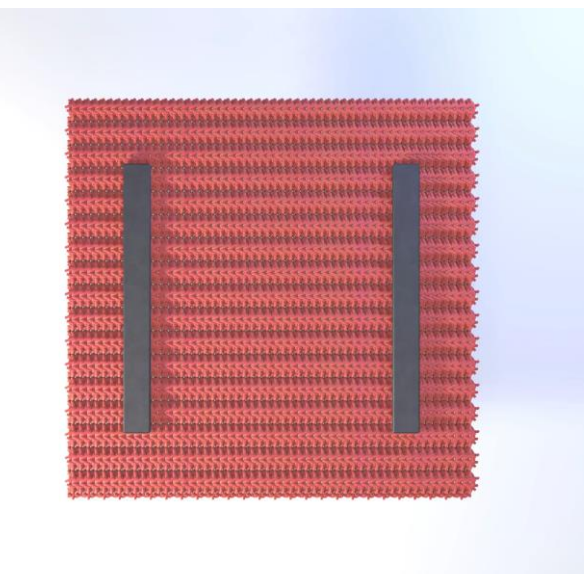
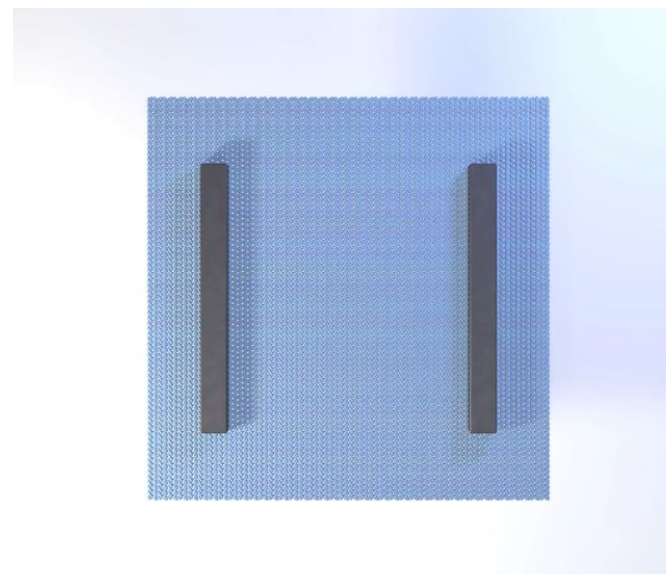


**Traction en X**

**Motif (rib/points côtelés)**

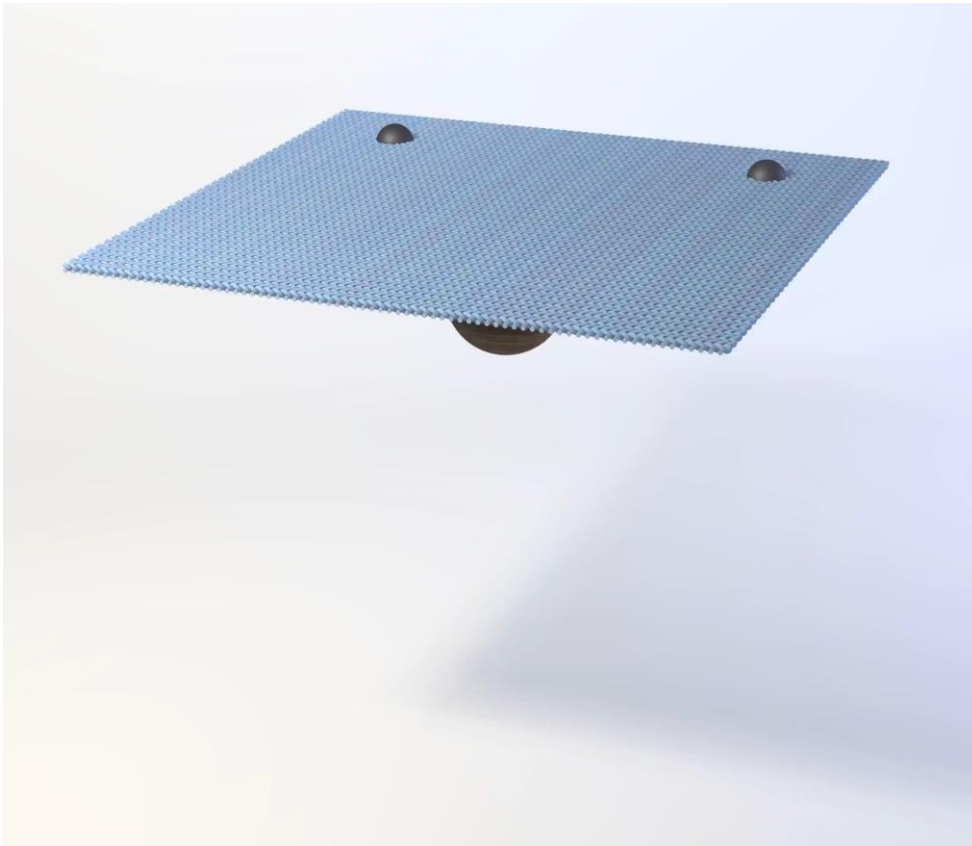


**Traction en Y**

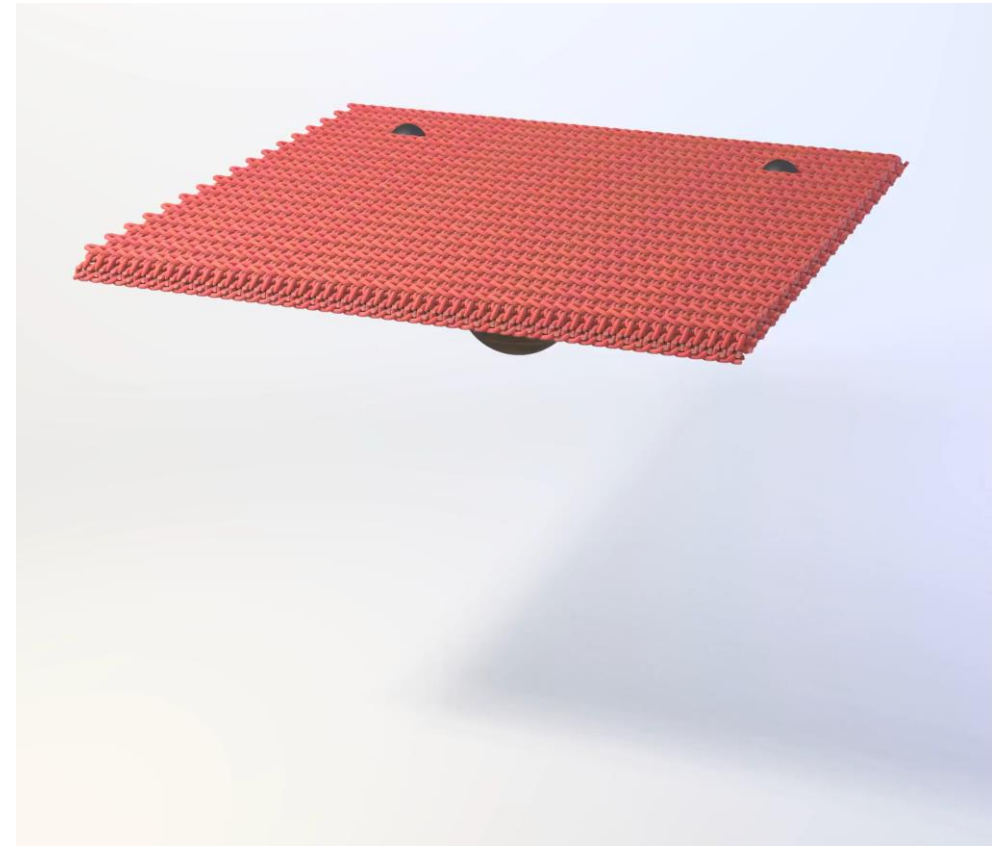


# Propriétés des tissus en flexion

**Motif (stock)**



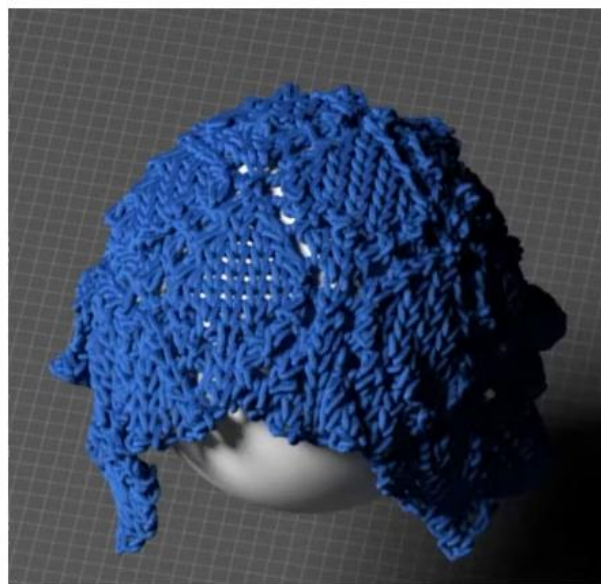
**Motif (rib)**



## Etat de l'art: Simulation au niveau du fil



[Kaldor et al. 2008]



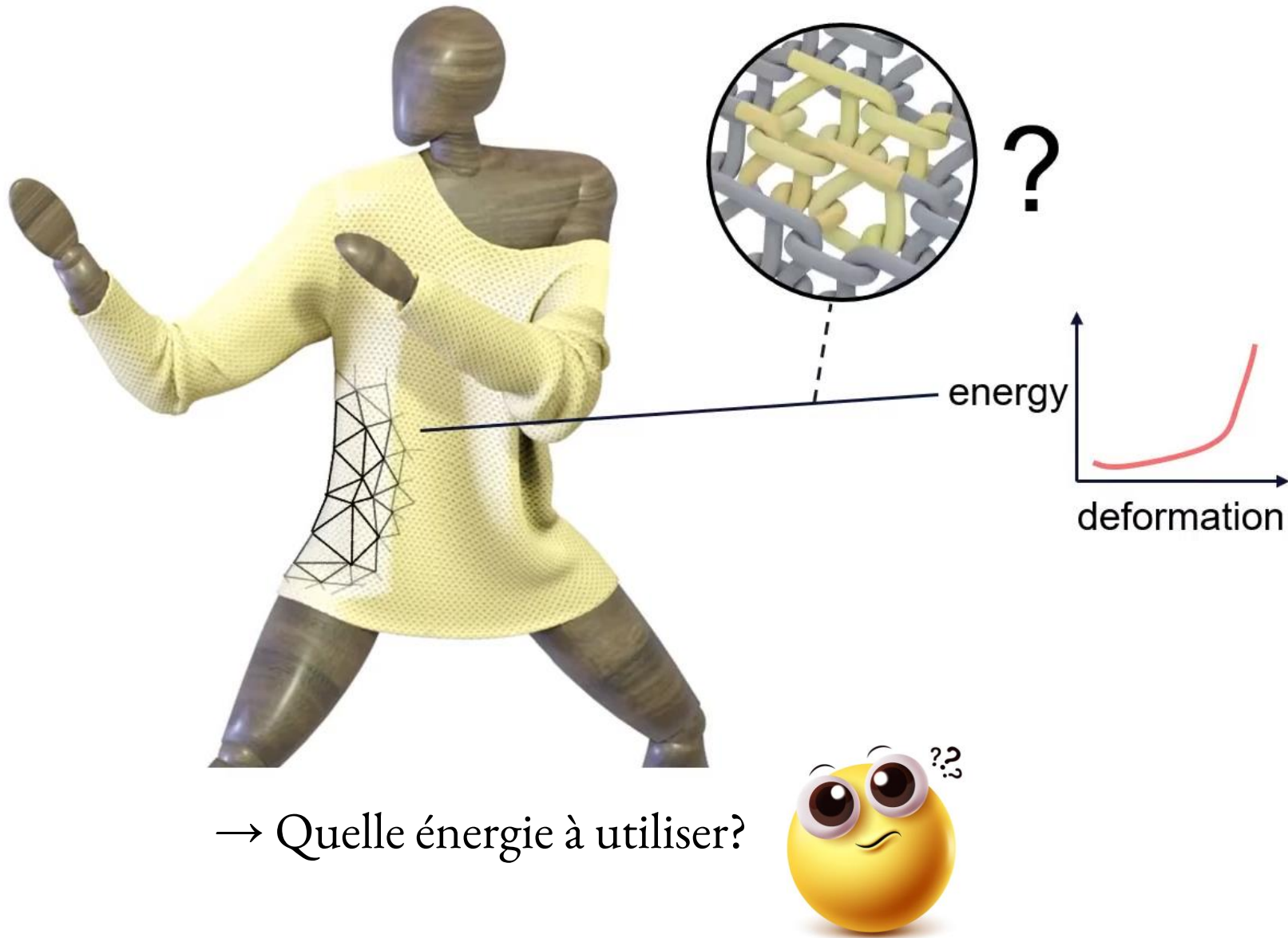
[Cirio et al. 2016]



[Sánchez-Banderas et al. 2020 ]

→ Simulation très coûteuse! (surtout à l'échelle de vêtements)

## Etat de l'art: Éléments Finis

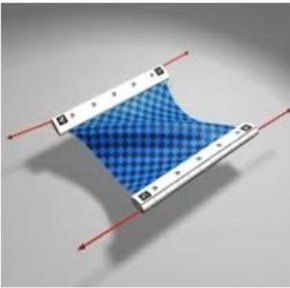
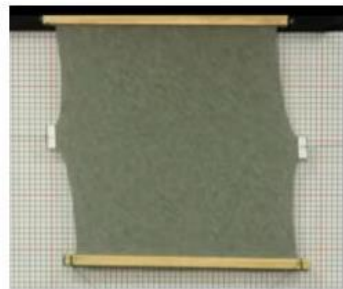


→ Matériau en approximation continu (maillage triangulaire) décrit par une énergie élastique.

→ Quelle énergie à utiliser?

# Homogénéisation

## Data-driven Cloth

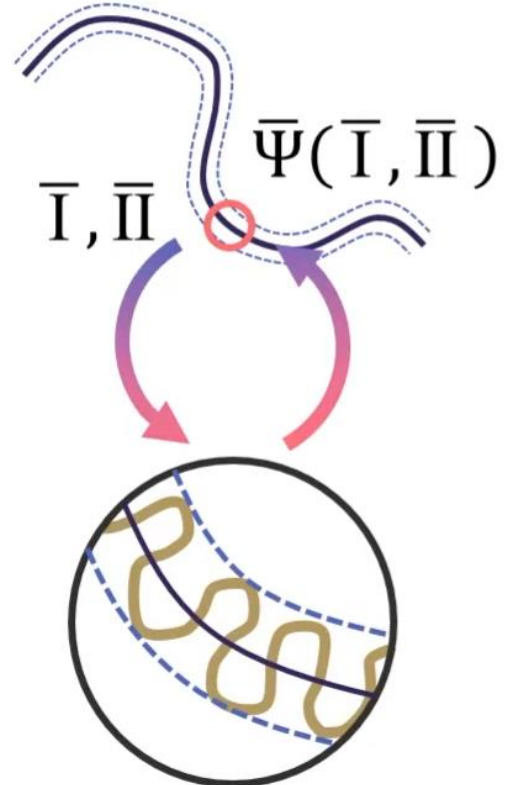
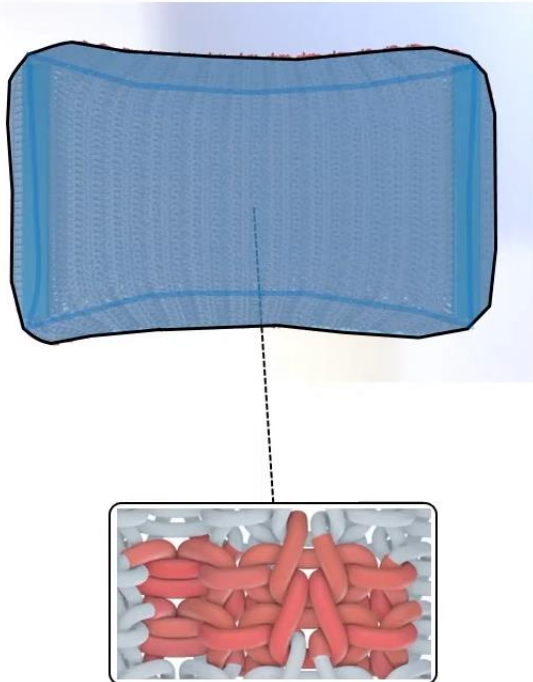


[Wang et al. 2008] [Miguel et al. 2012] [Clyde et al. 2017]

→ Appliquer une déformation macro sur l'échelle micro, calculer l'énergie associée et la « moyenner » pour remonter à l'échelle macro.

MACRO

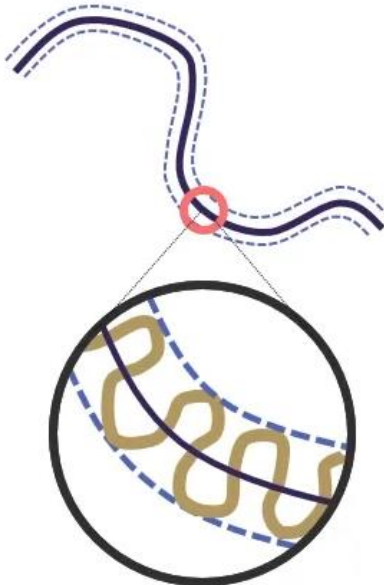
MICRO



# Homogénéisation du tissu au niveau du fil

→ Le tissu est périodique! Le Choix de volume élémentaire se base là dessus.

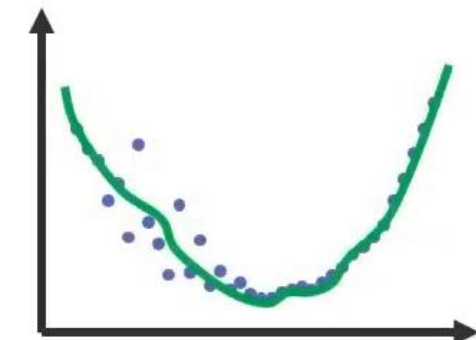
## Homogenization



## Simulation



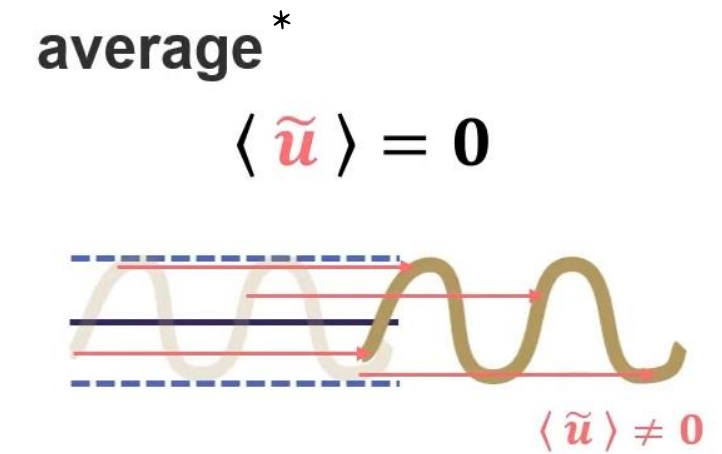
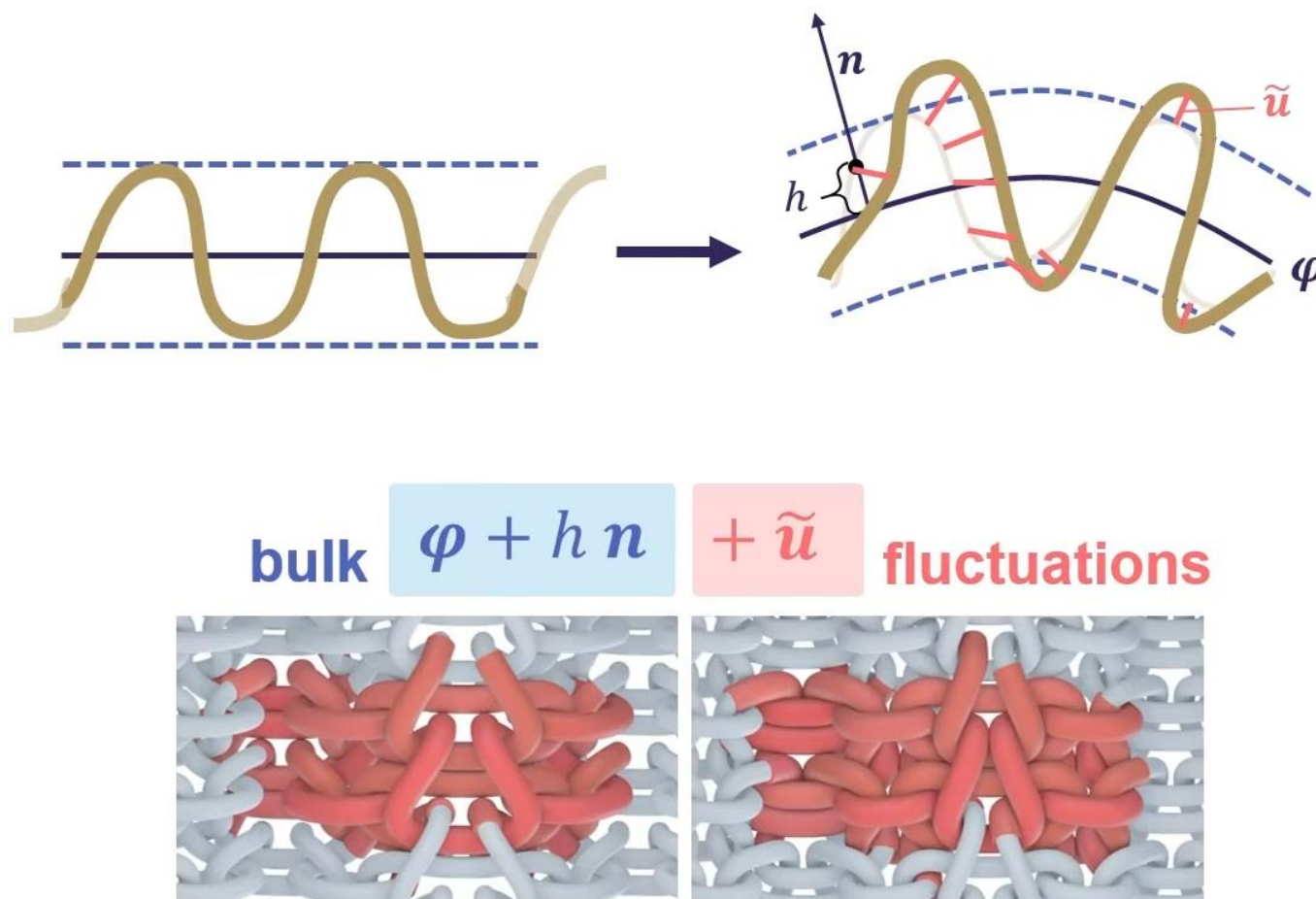
## Fitting



## FEM-Cloth

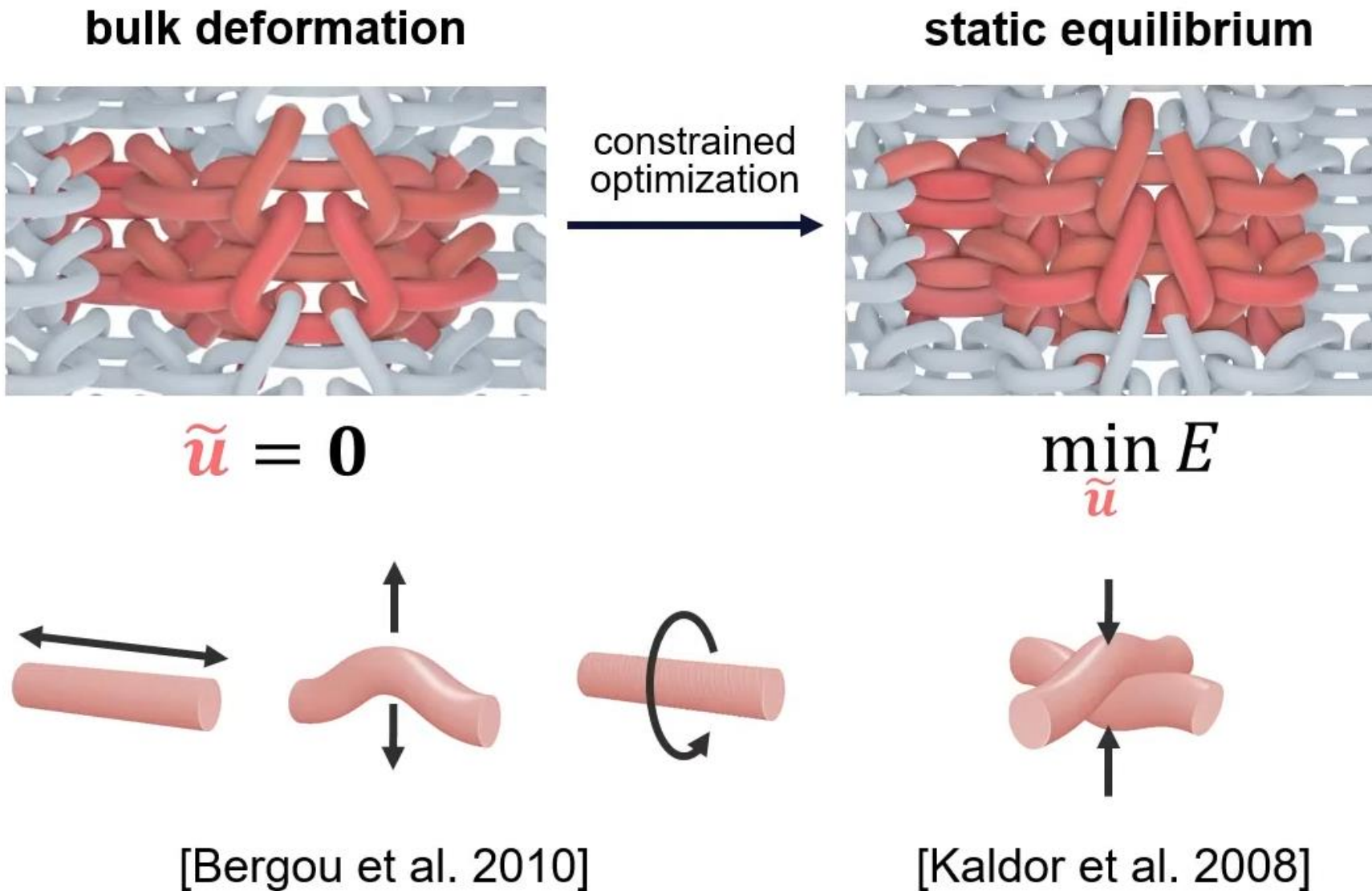


# Théorie des plaques minces et homogénéisation



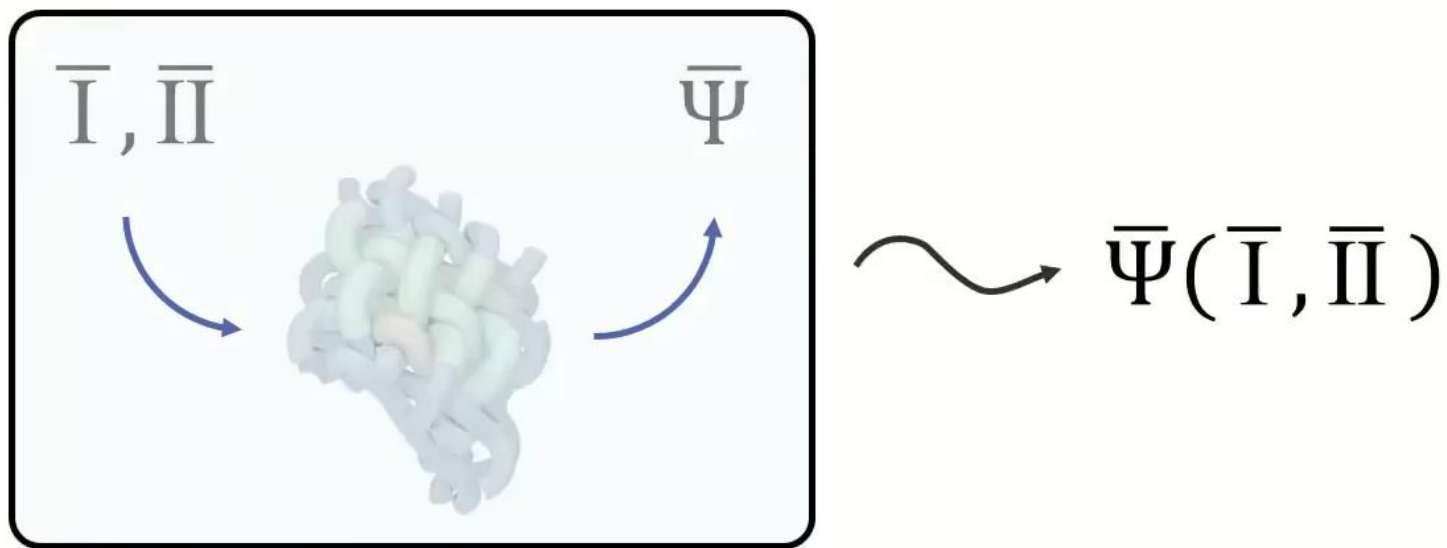
\* Dans un repère aligné à la surface.

# Simulations micro-échelle

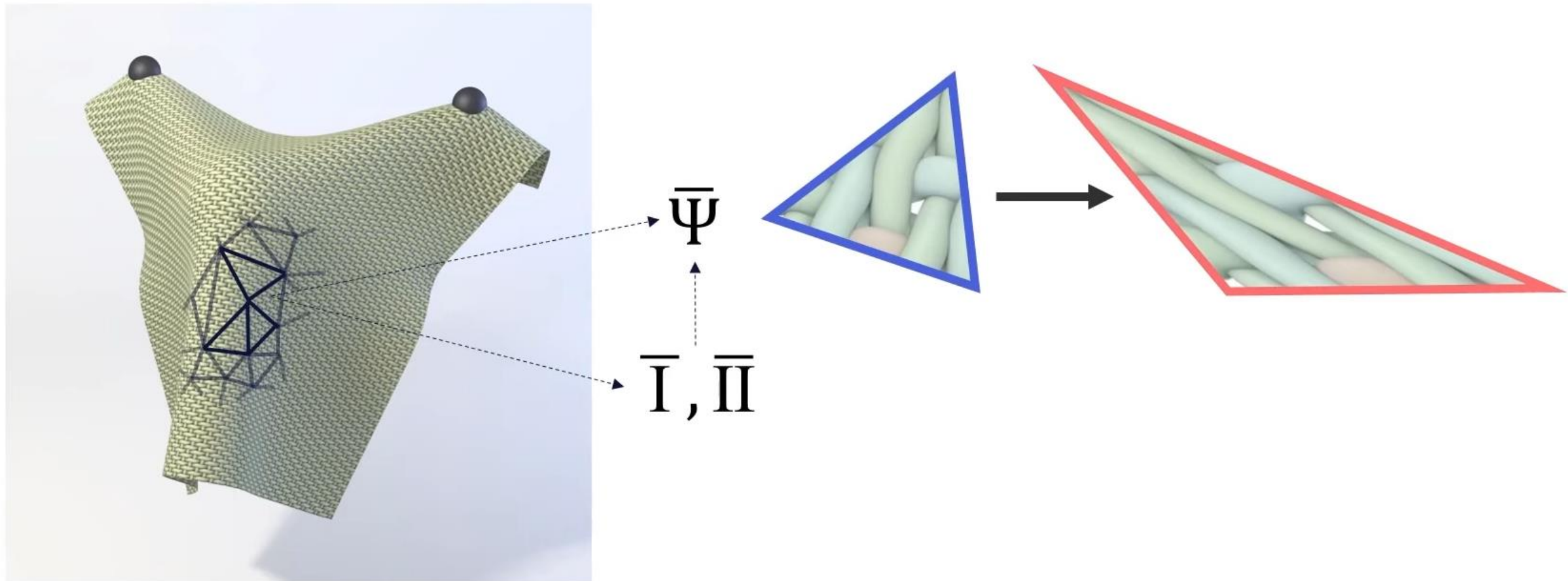


\* Pas de friction, hysteresis.

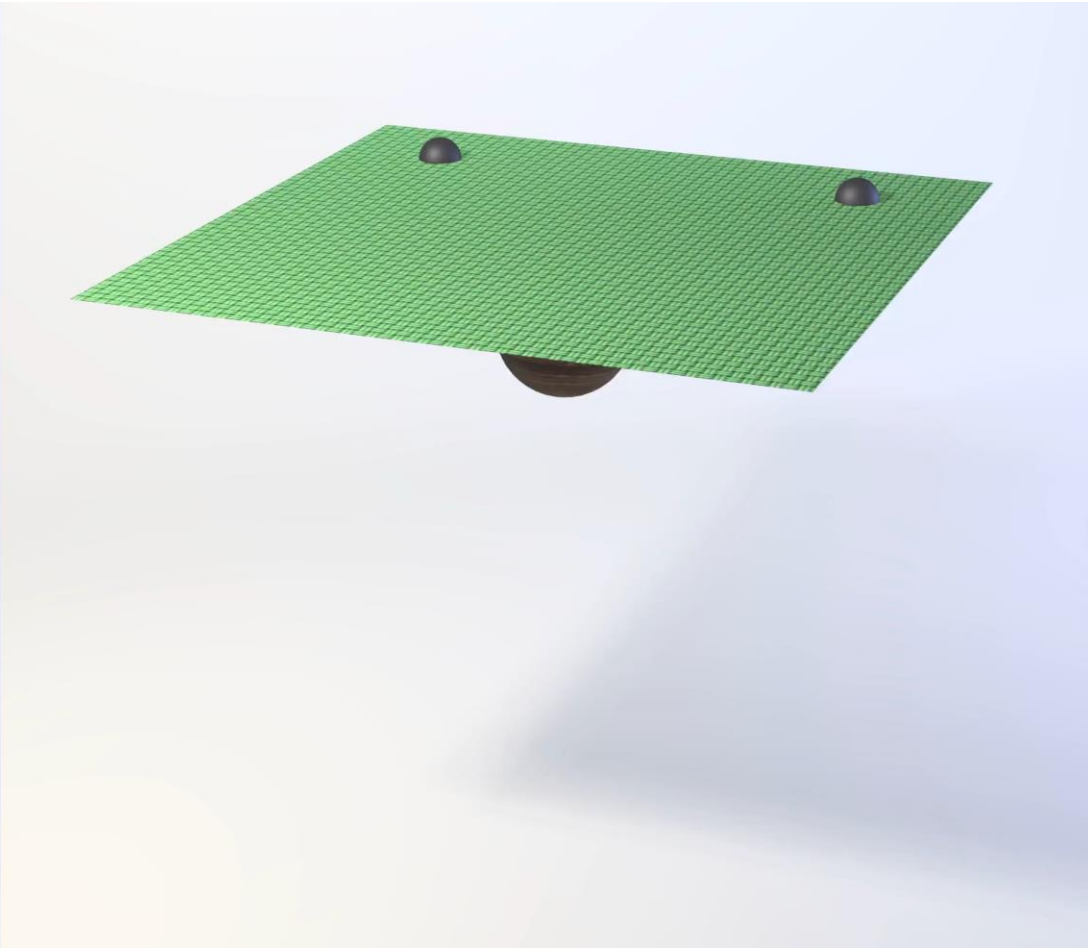
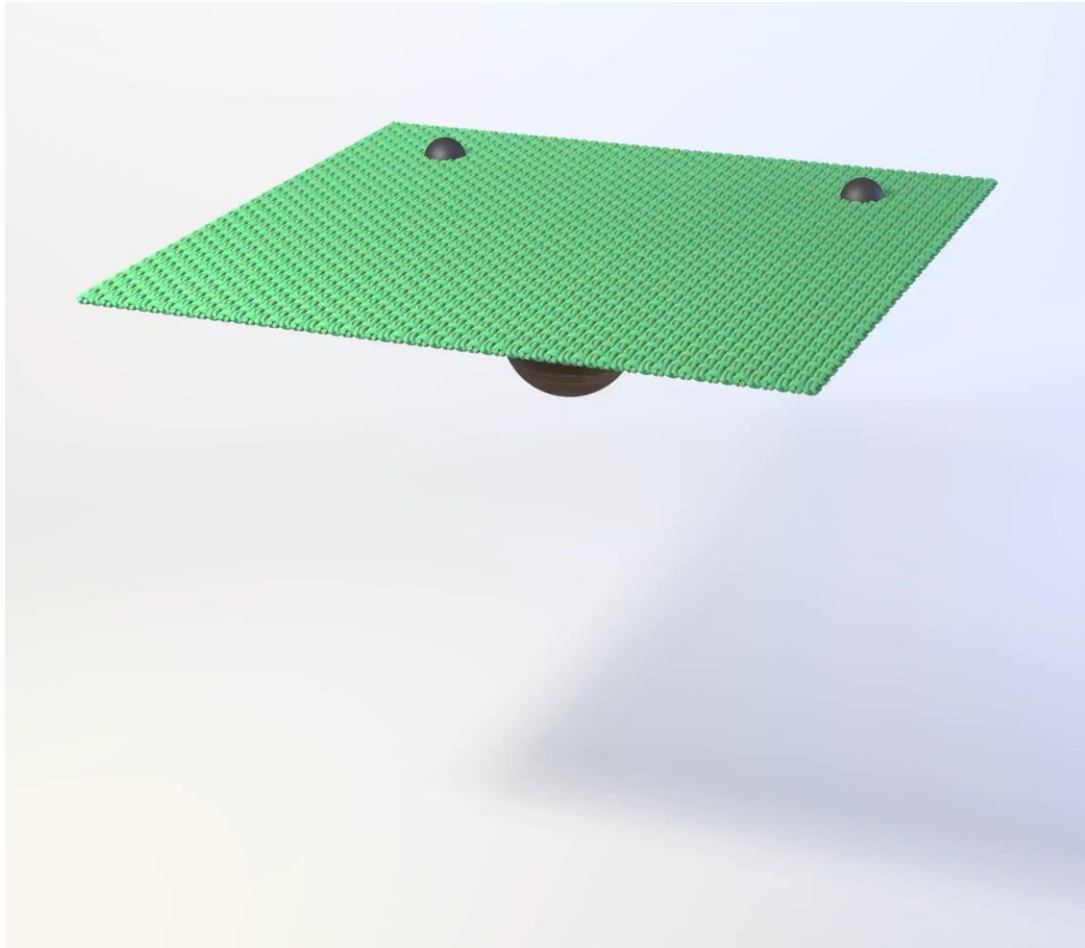
# Trouver un modèle paramétrique de l'énergie



# Simulation FEM



ARCsim [Narain et al. 2012]







| Simulation         | HYLC                    |            |          |           |             | YLC        |          |                   |            |
|--------------------|-------------------------|------------|----------|-----------|-------------|------------|----------|-------------------|------------|
|                    |                         | $\Delta t$ | sec/step | sec/frame | # Vertices* | $\Delta t$ | sec/step | sec/frame         | # Vertices |
| basket drape       | <a href="#">Fig. 16</a> | 2.09e-04   | 0.46     | 73.46     | 2276        | 1e-05      | 0.13     | ( $\times 5.9$ )  | 430.43     |
| basket drape 90°   |                         | 2.09e-04   | 0.46     | 72.74     | 2229        | 2e-05      | 0.23     | ( $\times 5.2$ )  | 381.50     |
| basket stretch     | <a href="#">Fig. 16</a> | 2.09e-04   | 0.50     | 80.58     | 2668        | 1e-05      | 0.17     | ( $\times 7.0$ )  | 560.43     |
| basket stretch 90° |                         | 2.09e-04   | 0.52     | 82.96     | 2657        | 1e-05      | 0.24     | ( $\times 9.6$ )  | 797.10     |
| honey drape        | <a href="#">Fig. 16</a> | 1.67e-04   | 0.41     | 81.91     | 2091        | 1e-05      | 0.36     | ( $\times 14.7$ ) | 1206.40    |
| honey drape 90°    |                         | 1.28e-04   | 0.42     | 109.65    | 2127        | 1e-05      | 0.39     | ( $\times 12.0$ ) | 1314.72    |
| honey stretch      | <a href="#">Fig. 16</a> | 1.67e-04   | 0.49     | 98.67     | 2370        | 1e-05      | 0.31     | ( $\times 10.3$ ) | 1017.60    |
| honey stretch 90°  |                         | 1.67e-04   | 0.44     | 87.50     | 2376        | 1e-05      | 0.29     | ( $\times 10.9$ ) | 954.20     |
| rib drape          |                         | 2.09e-04   | 0.48     | 76.86     | 2337        | 5e-06      | 0.39     | ( $\times 34.2$ ) | 2625.12    |
| rib drape 90°      |                         | 2.09e-04   | 0.48     | 77.32     | 2374        | 5e-06      | 0.53     | ( $\times 46.0$ ) | 3559.10    |
| rib stretch        |                         | 2.09e-04   | 0.48     | 76.35     | 2577        | 5e-06      | 0.38     | ( $\times 33.3$ ) | 2542.47    |
| rib stretch 90°    |                         | 2.09e-04   | 0.47     | 75.07     | 2541        | 5e-06      | 0.45     | ( $\times 39.6$ ) | 2971.27    |
| satin drape        | <a href="#">Fig. 1</a>  | 2.09e-04   | 0.48     | 77.21     | 2297        | 1e-05      | 0.56     | ( $\times 24.0$ ) | 1855.08    |
| satin drape 90°    |                         | 2.09e-04   | 0.47     | 74.74     | 2246        | 1e-05      | 0.56     | ( $\times 24.9$ ) | 1861.55    |
| satin stretch      |                         | 2.09e-04   | 0.44     | 70.82     | 2500        | 1e-05      | 0.35     | ( $\times 16.6$ ) | 1176.50    |
| satin stretch 90°  |                         | 2.09e-04   | 0.50     | 79.66     | 2684        | 1e-05      | 0.30     | ( $\times 12.4$ ) | 985.17     |
| stock. drape       | <a href="#">Fig. 16</a> | 2.09e-04   | 0.96     | 152.96    | 3390        | 1e-05      | 0.19     | ( $\times 4.2$ )  | 643.08     |
| stock. drape 90°   |                         | 2.09e-04   | 1.03     | 165.04    | 3383        | 4e-06      | 0.08     | ( $\times 4.0$ )  | 652.35     |
| stock. stretch     | <a href="#">Fig. 16</a> | 2.09e-04   | 1.15     | 184.17    | 4415        | 1e-05      | 0.18     | ( $\times 3.3$ )  | 615.83     |
| stock. stretch 90° |                         | 2.09e-04   | 0.79     | 126.91    | 3869        | 4e-06      | 0.08     | ( $\times 5.4$ )  | 684.30     |